

# 北海道の耕地土壤における交換酸度 ( $y_1$ ) の実態

志賀 弘行<sup>\*1</sup> 鈴木慶次郎<sup>\*1</sup> 安積 大治<sup>\*2</sup>

地力保全基本調査の土壤調査データから本道の耕地土壤における作土 $y_1$ の実態を明らかにし、pHと $y_1$ の関係を推定した。作土の $y_1$ が1未満の土壤は北海道の南部・東部にまとまって分布していた。pHと $y_1$ の関係は指数関数により近似できた。堆積様式別に見ると、pH5.5以下における $y_1$ の増大は洪積土でもっとも急であり、次いで沖積土、泥炭土、火山性土の順となった。火山性土において、pH 5に対応する $y_1$ は、網走・十勝では平均2以下と見積もられた。ジャガイモそうか病対策を念頭におき、pH 5における $y_1$ が1未満となる土壤の簡易判定指標を提案した。

## 緒 言

土壤に1 mol/L 塩化カリウムを加えて酸性物質を抽出し、抽出液をアルカリ滴定することにより測定した酸性物質の量を交換酸度という。ここで抽出される酸性物質は、特殊な例外を除いて交換性アルミニウムであることが知られている。特に、土壤100gに250mlの塩化カリウム溶液を加えて抽出し、抽出液125mlをフェノールフタレン指示薬として中和するのに要した0.1mol/L水酸化ナトリウムのml数は $y_1$ とよばれる<sup>12)</sup>。 $y_1$ は土壤酸性の容量因子、土壤pHは酸性の強度因子と考えることができる。

$y_1$ はかつて土壤酸性矯正資材の所要量を求める方法として広く用いられたが、実際の所要量に対して過少に見積もられる例が多く、アルカリ試薬による緩衝曲線法にとってかわられ、土壤診断の項目としても使われなくなっている<sup>7)</sup>。

近年、 $y_1$ がそうか病の発病に影響する土壤要因であることが指摘され<sup>8)</sup>、北海道における実態調査<sup>6)</sup>では、 $y_1$ が5以上では発生圃場の出現頻度は低く、8以上では発病程度が非常に低いことが報告されている。また、黒ボク土における酸性障害は主としてアルミニウムの過剰障害であり、 $y_1$ と作物根の伸長には指数関数的な関係が認められること、土壤診断法としては $y_1$ が最も簡便かつ実用的であることが示され<sup>9)</sup>、 $y_1$ の有効性が再評価されつつある。

$y_1$ の分布実態については、黒ボク土の類型区分を目的として全国未耕地のデータを整理した報告<sup>10)</sup>があるが、

既耕地について体系的な把握はなされていない。そこで、地力保全基本調査<sup>2)</sup>のデータベースを用いて本道の耕地土壤における $y_1$ の実態およびpHと $y_1$ の関係を推定したので報告する。

## 方 法

### 1. 北海道の耕地土壤における $y_1$ の分布実態

$y_1$ に関するデータとしては、もっとも調査点数の多い地力保全基本調査（1959年～1975年）の各土壤区の代表断面の作土 $y_1$ 分析値を基に、地目・行政区・土壤分類別の集計を行った。また、農林水産省により1979年から開始された土壤環境基礎調査（定点調査）<sup>1)</sup>のデータを用いて調査年代による $y_1$ の推移を検討した。なお、地力保全基本調査においては、土壤区が畑・草地を分けずに設定されているため両者を一括して集計した。

さらに、地力保全基本調査の5万分の1土壤図における各土壤区の分布を1 kmメッシュで表現したメッシュマップと各土壤区の作土 $y_1$ データを結合して耕地土壤の $y_1$ 分布マップを作成した。メッシュマップは、農耕地資源マッピングシステム<sup>3)</sup>において整備したデータを用いた。

### 2. 土壤pHと $y_1$ の関係

土壤pHの上昇は $y_1$ の減少、pHの低下は $y_1$ の増大をもたらし、個々の土壤についてみると両者は関数関係にある<sup>8)</sup>。pHと $y_1$ の関係は土壤によって異なるため、この関係を把握しておくことはそうか病対策等に有用な知見となる。ここでは、分布実態の集計と同じデータから作土 $y_1$ とpH(H<sub>2</sub>O)分析値の組を取り出し、両者の関係を解析した。

2000年6月9日受理

\*1 北海道立北見農業試験場、099-1496 常呂郡訓子府町

\*2 北海道立中央農業試験場、069-0365 岩見沢市上幌向

## 結果および考察

### 1. 北海道の耕地土壌における $y_1$ の分布実態

#### (1) 支庁・地目別 $y_1$ 平均値

支庁・地目別 $y_1$ 平均値を表1に示す。地力保全基本調査による $y_1$ の全道平均は4.8、畑・草地の平均値は4.6である。ばれいしょの主要産地における畑・草地の $y_1$ は、後志8.0、上川5.1、網走3.1、十勝1.9であり、後志支庁管内で高く網走、十勝で低いことが特徴的である。

表1 支庁・地目別 $y_1$ 平均値

| 支庁 | 地 目 |      |      |
|----|-----|------|------|
|    | 水田  | 畑・草地 | 全地目  |
| 石狩 | 6.5 | 11.7 | 9.2  |
| 渡島 | 5.2 | 3.7  | 4.0  |
| 檜山 | 6.5 | 4.3  | 5.3  |
| 後志 | 7.6 | 8.0  | 7.7  |
| 空知 | 4.0 | 6.6  | 4.7  |
| 上川 | 7.4 | 5.1  | 6.3  |
| 留萌 | 9.2 | 8.6  | 8.9  |
| 宗谷 | —   | 12.8 | 12.8 |
| 網走 | 4.2 | 3.1  | 3.1  |
| 胆振 | 2.5 | 1.7  | 1.9  |
| 日高 | 2.8 | 3.9  | 3.6  |
| 十勝 | 2.0 | 1.9  | 1.9  |
| 釧路 | —   | 2.4  | 2.4  |
| 根室 | —   | 4.4  | 4.4  |
| 全道 | 5.4 | 4.6  | 4.8  |

#### (2) 畑・草地に関する支庁・土壤群別 $y_1$ 平均値

畑・草地の $y_1$ の全道平均値を土壤群別にみると（表2その3），堆積様式が同じであれば湿性な土壌ほど $y_1$ が大きい。火山性土については、黒ボク土で1.8、多湿黒ボク土で2.2、黒ボクグライ土で2.7の順、洪積土については、褐色森林土で6.9、灰色台地土で7.1、グライ台地土で12.4の順、沖積土については、褐色低地土で3.2、灰色低地土で4.0、グライ土で7.7の順である。また、泥炭土については平均10.1と大きな値を示す。

網走支庁管内についてみると（表2その2），斜網地帯の主要土壌である黒ボク土の $y_1$ は0.6ときわめて小さい。十勝支庁管内の黒ボク土は（表2その3） $y_1$ が0.8と網走などに低いが、多湿黒ボク土の $y_1$ は2.0とやや高い値である。

#### (3) 調査年代による $y_1$ の推移

地力保全基本調査と、より調査年代の新しい定点調査による $y_1$ 集計値の比較を表3に示した。

全地目平均の $y_1$ は調査年代が新しくなるほど低下しており、地力保全で4.8だったものが定点調査2巡目では3.1となっている。定点調査の1巡目から2巡目にか

けて普通畑では $y_1$ の変化がなく、草地で大きな低下が見られた。地力保全基本調査では畑と草地を分けていたため定点調査と畑地に関する直接の比較はできないが、近年における $y_1$ の低下の大部分が草地におけるものとすれば、畑地については3時期の調査を通じてそれほど大きな $y_1$ の変化はないものと推定される。

#### (4) 北海道の耕地土壌における $y_1$ の分布マップ

地力保全基本調査における作土 $y_1$ の分布を図1に示した。図1より、作土の $y_1$ が1未満の土壌は網走支庁東部、十勝支庁中央部、釧路・胆振支庁管内など北海道の南部・東部にまとまって分布していることがわかる。一方 $y_1$ が大きい土壌は宗谷・留萌支庁管内など北部を中心に分布しており、地域的なコントラストが鮮明である。

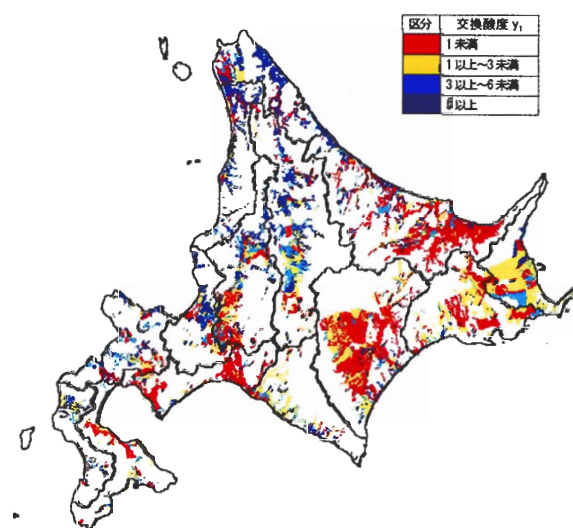


図1 北海道の農耕地における作土の交換酸度( $y_1$ )の分布  
地力保全基本調査(1959～1975年)データを使用

三枝ら<sup>10)</sup>は全国の未耕地黒ボク土を対象に、 $y_1$ が6未満の土壌をアロフェン質黒ボク土、6以上を非アロフェン質黒ボク土として区分した。三枝の区分による北海道のアロフェン質黒ボク土の分布は、図1における $y_1$ が1未満の土壌の分布とほぼ一致していた。本報告では、酸性矯正の進んだ既耕地の作土を対象としたため未耕地に比べて $y_1$ の値は小さいが、土壌間における $y_1$ の相対的な大小関係は元の土壌の性質を強く反映しているものと考えられた。アロフェン質黒ボク土の分布は塩基性母材や軽石質、あるいは相対的に降水量が少なく土壌のpHが高い地域にみられることが知られており<sup>10)</sup>、表2において網走支庁の黒ボク土における $y_1$ の値が平均0.6と極めて小さいことは、これらの条件の反映とみられる。

表2 (その1) 畑・草地 $y_1$ の支庁・土壤群別平均値

| 土壤群     | 石狩          | 渡島         | 檜山         | 後志          | 空知         |
|---------|-------------|------------|------------|-------------|------------|
| 黒ボク土    | 1.3( 6536)  | 2.6(14592) | 2.8( 4608) | 2.6( 9585)  | 1.0( 3014) |
| 多湿黒ボク土  | 0.8( 353)   | 4.0( 1063) | 3.1( 828)  | 4.0( 180)   |            |
| 黒ボクグライ土 |             | 4.3( 336)  |            |             |            |
| 褐色森林土   | 15.5( 1908) | 3.1( 178)  | 5.1( 2692) | 12.4(10671) | 7.4( 8608) |
| 灰色台地土   | 14.1( 3358) |            | 2.5( 155)  | 8.2( 1155)  | 7.3( 3515) |
| グライ台地土  | 8.4( 382)   |            |            | 2.0( 61)    | 25.3( 799) |
| 褐色低地土   | 13.0( 2460) | 5.0( 1893) | 5.9( 818)  | 6.8( 3941)  | 6.8( 3092) |
| 灰色低地土   | 14.1( 953)  | 3.4( 622)  | 9.4( 540)  | 6.5( 1121)  | 2.4( 2749) |
| グライ土    | 21.9( 216)  | 3.3( 1038) |            | 0.8( 38)    |            |
| 泥炭土     | 30.5( 2419) | 9.1( 589)  |            | 1.9( 52)    | 8.2( 216)  |
| 全土壤     | 11.7(19814) | 3.7(20484) | 4.3( 9768) | 8.0(27105)  | 6.6(22542) |

カッコ内は分布面積 (ha), 出典: 道立農業試験場資料21号<sup>4)</sup>

土壤群のうち, 岩屑土, 砂丘未熟土, 暗赤色土, 黒泥土については, 分布面積が小さいため表示を省略した (全土壤の集計値は上記土壤を含むため, 表中の面積合計より大きい)

表2 (その2) 畑・草地 $y_1$ の支庁・土壤群別平均値

| 土壤群     | 上川         | 留萌          | 宗谷          | 網走          | 胆振         |
|---------|------------|-------------|-------------|-------------|------------|
| 黒ボク土    | 2.1( 1593) |             | 12.4( 2161) | 0.6( 36612) | 1.3(18600) |
| 多湿黒ボク土  |            |             |             | 1.2( 1363)  | 0.7( 580)  |
| 黒ボクグライ土 |            |             |             | 0.6( 663)   | 2.2( 264)  |
| 褐色森林土   | 7.3(33578) | 12.0( 5090) | 17.6(14277) | 2.5( 44138) | 1.4( 2310) |
| 灰色台地土   | 7.4( 5502) | 11.2( 1775) | 15.7(12486) | 4.8( 22510) | 0.4( 95)   |
| グライ台地土  |            | 2.8( 280)   | 8.3( 2629)  | 27.8( 1003) |            |
| 褐色低地土   | 2.2(11439) | 3.0( 5337)  | 4.8( 4417)  | 1.8( 32926) | 3.8( 899)  |
| 灰色低地土   | 5.0( 2600) | 8.5( 5098)  | 7.4( 5313)  | 3.4( 11427) | 1.2( 606)  |
| グライ土    | 5.9( 797)  | 9.3( 868)   | 10.5( 4259) | 7.1( 1969)  | 3.8( 83)   |
| 泥炭土     | 3.3( 884)  | 6.9( 5948)  | 11.4( 9590) | 10.4( 6469) | 8.3( 10)   |
| 全土壤     | 5.1(60503) | 8.6(24764)  | 12.8(56167) | 3.1(160238) | 1.7(23570) |

表2 (その3) 畑・草地 $y_1$ の支庁・土壤群別平均値

| 土壤群     | 日高          | 十勝          | 釧路         | 根室          | 全道           |
|---------|-------------|-------------|------------|-------------|--------------|
| 黒ボク土    | 2.5(22350)  | 0.8( 82685) | 1.4(66683) | 4.9( 72942) | 1.8(341988)  |
| 多湿黒ボク土  | 3.2( 655)   | 2.0( 41520) | 2.9( 2125) | 2.2( 28847) | 2.2( 77514)  |
| 黒ボクグライ土 |             | 0.9( 156)   | 3.8( 519)  |             | 2.7( 1938)   |
| 褐色森林土   | 6.3( 1981)  | 1.2( 19805) | 1.6( 60)   |             | 6.9(145296)  |
| 灰色台地土   | 5.6( 128)   | 1.7( 12945) | 2.3( 73)   |             | 7.1( 63697)  |
| グライ台地土  |             | 3.7( 1093)  |            |             | 12.4( 6315)  |
| 褐色低地土   | 1.9( 3159)  | 1.7( 61351) | 2.5( 9173) | 3.0( 1380)  | 3.2(142285)  |
| 灰色低地土   | 3.5( 2043)  | 1.9( 19838) | 2.8( 8044) | 2.9( 1771)  | 4.0( 62725)  |
| グライ土    | 7.4( 501)   | 8.6( 3786)  | 3.7( 375)  | 0.7( 38)    | 7.7( 14004)  |
| 泥炭土     | 12.4( 2037) | 4.9( 9263)  | 6.0( 3758) | 10.7( 3027) | 10.1( 44262) |
| 全土壤     | 3.9(33182)  | 1.9(252442) | 2.4(90810) | 4.4(108005) | 4.6(909394)  |

表3 調査年代による $y_1$ の変化

| 調査事業     | 調査年       | 地 目 |     |     |     |
|----------|-----------|-----|-----|-----|-----|
|          |           | 水田  | 普通畠 | 草地  | 全地目 |
| 地力保全基本調査 | 1959～1975 | 5.4 | 4.6 | 4.8 |     |
| 定点調査1巡目  | 1979～1982 | 4.6 | 2.8 | 4.8 | 3.8 |
| 定点調査2巡目  | 1984～1987 | 4.9 | 2.8 | 2.8 | 3.1 |

## 2. 土壌pHと $y_1$ の関係

図2に全道の畑・草地土壌におけるpHと $y_1$ の関係を示した。全体的にみると、 $y_1$ の対数とpH(H<sub>2</sub>O)の間に直線的な関係がみられ、pHと $y_1$ の関係は指数関数で近似できる。最小二乗法によりあてはめた指数回帰式の値は、pH(H<sub>2</sub>O)が5.5以下で急激に増大し、pH 5に対応する $y_1$ は5.9、pH 4.5に対応する $y_1$ は14.4であった(表4)。しかしながら、個々のプロットは回帰曲線の周囲にかなりの広がりをもって分布しており、pH 5以下でも $y_1$ が1未満の土壌もみられた。

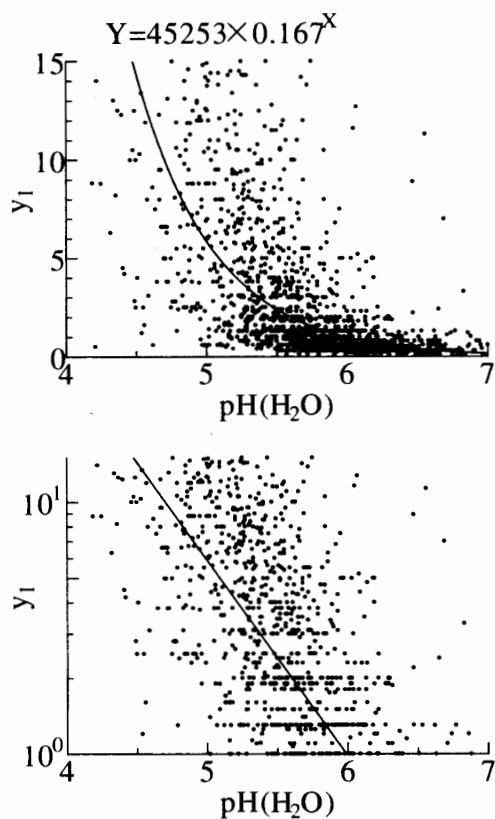


図2 畑・草地におけるpHと $y_1$ の関係  
下段はY軸を対数目盛としたプロット

堆積様式別にみたpHと $y_1$ の関係を図3に示した。pH 5.5以下における $y_1$ の増大は洪積土でもっとも急であり、次いで沖積土、泥炭土、火山性土の順となった。火山性土では、pH 5.0に対応する $y_1$ は2.7で、土壤全体について計算した値の約2分の1となった。

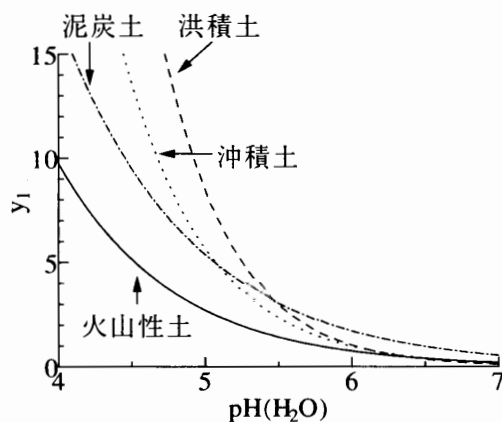


図3 堆積様式別にみたpHと $y_1$ の関係  
(畑・草地)

火山性土について、さらに支庁別にみたpHと $y_1$ の関係を図4に示す。ここでは後志、網走、十勝の3支庁内の土壌をとりあげた。pH 5に対応する $y_1$ は後志では4.1、網走では1.9、十勝では1.1と計算され、火山性土の中でも地域によって大きな差があることが認められた。

pHと $y_1$ の関係は、土壤の陽イオン交換基の性格に支配されることが知られている<sup>11)</sup>。表4における、pHと $y_1$ の回帰式の堆積様式や地域による違いは、陽イオン交換基を保持する粘土鉱物の違いを反映したものと考えられ、洪積土および沖積土でのpH 5.5以下における $y_1$ の急激な増大は2:1型粘土鉱物の強酸的な交換基に起因するものと推定される。

一方、そうか病に対する土壤酸度調整資材による防除効果は、pH 5付近の $y_1$ が1未満の土壌では低いことが

表4 北海道の畑・草地土壌におけるpHと $y_1$ の回帰式

| 堆積様式 | 地域 | 回帰式*の係数 |       | 寄与率<br>$R^2$ | データ<br>数 | 各pHにおける $y_1$ |     |     |
|------|----|---------|-------|--------------|----------|---------------|-----|-----|
|      |    | a       | b     |              |          | 4.5           | 5.0 | 5.5 |
| 全土壤  | 全道 | 45253   | 0.167 | 0.51         | 1783     | 14.4          | 5.9 | 2.4 |
| 火山性土 | 全道 | 1605    | 0.279 | 0.35         | 404      | 5.1           | 2.7 | 1.4 |
|      | 後志 | 1706    | 0.300 | 0.31         | 35       | 7.6           | 4.1 | 2.3 |
|      | 網走 | 1366    | 0.267 | 0.43         | 66       | 3.6           | 1.9 | 1.0 |
|      | 十勝 | 402     | 0.308 | 0.37         | 28       | 2.0           | 1.1 | 0.6 |
| 洪積土  | 全道 | 301446  | 0.123 | 0.55         | 656      | 24.2          | 8.5 | 3.0 |
| 沖積土  | 全道 | 36531   | 0.173 | 0.51         | 642      | 13.6          | 5.7 | 2.4 |
| 泥炭土  | 全道 | 1576    | 0.321 | 0.44         | 81       | 9.5           | 5.4 | 3.0 |

\* $Y=a \times b^x$ 、ただしY :  $y_1$ 、X : pH(H<sub>2</sub>O)

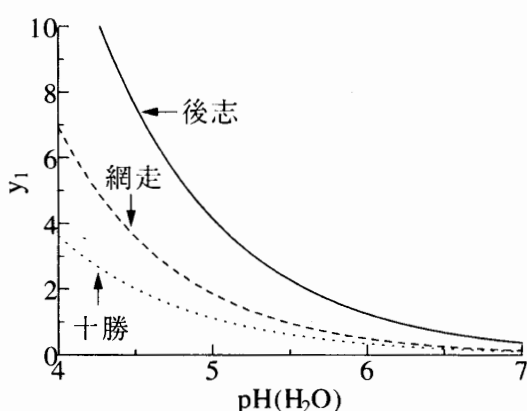


図4 支庁別にみたpHと $y_1$ の関係  
(畑・草地、火山性土)

認められている<sup>5)</sup>。図3・図4にみるよう火山性土の $y_1$ は小さく、特に網走・十勝管内の火山性土では、pH5における $y_1$ の平均的な値は2以下であり、pH5付近の $y_1$ が1未満の土壤が少なくないと推定される。したがって、特に火山性土について土壤酸度調整資材の施用を検討する場合には、pH5における $y_1$ の値を事前に推定しておくことが望ましい。

そこで火山性土についてpH5における $y_1$ の値を判定する際の指標となる関係式を図5のように作成した。図5にはpH5のときの $y_1$ が1となる式を示した。式の係数は表4の火山性土の回帰式を参考に係数bを0.29とし、pH5のとき $y_1$ が1の点を通るように係数aを定めた。対象とする土壤のpHと $y_1$ の組を1点だけ求め、その点のプロットが、図5の曲線より下にあれば、pH5のときの $y_1$ は1未満と予想される。この式による判定は、pH5以上の領域では精度が悪いため、酸度調整資材を加えた状態で対象とする土壤のpHと $y_1$ を求めた方がよい。

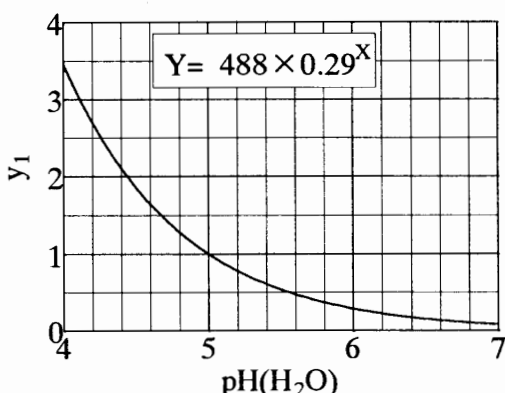


図5 酸度調整資材の $y_1$ 增加効果判定のためのpHと $y_1$ の関係式（火山性土を対象とする）

以上のように、北海道の耕地土壤における $y_1$ の分布には地域、土壤の堆積様式に対応した特徴がみられ、pHと $y_1$ の関係もそれぞれ異なっているため、土壤酸度調整資材などの施用にあたっては、これらの相違を考慮した管理が必要である。

### 引用文献

- 橋本 均、志賀弘行、安積大治、木場稔信、宮脇忠、 “北海道耕地土壤の理化学性の実態とその推移” . 北農. 65, 172-182(1998).
- 北海道. “地力保全基本調査総合成績書” . 1978. 1082p.
- 北海道立中央農業試験場. “農耕地評価のためのマッピングシステム” . 平成4年普及奨励ならびに指導参考事項. 北海道農政部. 1992. p.231-234.
- 北海道立中央農業試験場. “北海道土壤区一覧” . 北海道立農業試験場資料. 21, 1-123(1993).
- 北海道立北見農業試験場. “抵抗性品種と土壤酸度調整の併用によるジャガイモそうか病の防除効果” . 平成12年普及奨励ならびに指導参考事項. 北海道農政部. 2000. p.244-245.
- 北海道立十勝・北見・中央農業試験場. “ばれいしょのそうか病の発生実態” . 平成9年普及奨励ならびに指導参考事項. 北海道農政部. 1997. p.145-147.
- 今井弘樹、尾形昭逸、田中 明. “酸性土壤とその農業利用” . 田中 明編. 博友社. 1984. p.266-281.
- 水野直治、吉田穂積. “土壤pH、置換酸度 $y_1$ とバレイショうか病との相互関係” . 日本土壤肥料学雑誌. 65, 27-33 (1994).
- Saigusa, M., Shoji, S. and Takahashi, T. “Plant root growth in acid Andsols from Northeastern Japan. 2. Exchange acidity  $y_1$  as a realistic measure of aluminum toxicity potential”. Soil Science. 130, 242-250 (1991).
- 三枝正彦、松本信彦、阿部篤郎. “開拓地土壤概要に基づく交換酸度 $y_1$ によるわが国黒ボク土の類型区分” . 日本土壤肥料学雑誌. 63, 646-651 (1992).
- 吉田 稔. “土壤の吸着現象” . 日本土壤肥料学会編. 博友社. 1981. p.64-70.
- 吉田 稔. “酸性土壤とその農業利用” . 田中 明編. 博友社. 1984. p.155-168.

# Distribution of Exchange Acidity $y_1$ in Arable Land of Hokkaido and its Relationship between Soil pH

Hiroyuki SHIGA<sup>\*1</sup>, Keijiro SUZUKI<sup>\*1</sup> and Daiji ASAKA<sup>\*2</sup>

## Summary

The distribution of exchange acidity  $y_1$  in arable land of Hokkaido was compiled from the existing soil survey data, and relationship between soil pH and  $y_1$  was examined. The soil with its topsoil  $y_1$  less than 1 was mainly distributed in southern and eastern part of Hokkaido. Relationship between soil pH and  $y_1$  could be approximated by an exponential function. Increase curve of  $y_1$  below pH 5 was the sharpest in diluvial soil, followed by alluvial soil, peat soil and volcanic soil. As for volcanic soil of Abashiri and Tokachi sub prefecture,  $y_1$  at pH 5 was estimated at less than 2. Taking control of potato scab into account, a simple formula to identify the soil with  $y_1$  less than 1 at pH 5 was proposed.

\*<sup>1</sup> Hokkaido Prefectural Kitami Agricultural Experiment Station. Kunneppu, Hokkaido, 099-1496 Japan

\*<sup>2</sup> Hokkaido Central Agricultural Experiment Station. Iwamizawa, Hokkaido, 069-0365 Japan